



## 위험기반검사 프로그램에 의한 화학설비의 정량적 위험성 평가

이현창\* · 최성규 · 조지훈\*\* · 함병호\*\*\* · †김태옥

명지대학교 화학공학과, \*한국안전이엔씨, \*\*한국산업안전공단, \*\*\*노동부

(2007년 9월 19일 접수, 2007년 11월 16일 채택)

## Quantitative Risk Assessment of the Chemical Facilities by KS-RBI Program

Hern-Chang Lee\* · Sung-Kyu Choi · Ji-Hoon Jo\*\* · Byeong-Ho Ham\*\*\* · †Tae-Ok Kim

Dept. of Chemical Engineering, Myongji University, Yongin 449-728, Korea

\*Korea Safety Engineering and Consulting Co. Ltd.

\*\*Korea Occupation Safety Healthy and Agency

\*\*\*Ministry of Labor

(Received September 19 2007, Accepted November 16 2007)

### 요 약

정량적 원인분석이 가능한 위험기반검사(KS-RBI) 프로그램을 사용하여 화학설비의 사고 피해범위를 산출하고, 일반적인 정량적 위험성 평가를 수행하는 프로그램인 K-CARM에서 얻은 결과와 비교하였다. 그 결과, KS-RBI 프로그램에 의해 산출한 사고피해 크기는 K-CARM의 결과와 비교적 잘 일치하여 KS-RBI 프로그램이 정량적 위험성 평가에 적극 활용할 수 있을 것으로 기대된다. 또한 사업장에서는 기중평균에 의한 사고 피해영역을 활용함으로써 현실성 있는 피해완화조치와 비상조치계획을 수립할 수 있을 것으로 생각된다.

**Abstract** – Damage ranges of accidents of the chemical facilities were estimated by the KS-RBI(Ver.3.0) program supporting the quantitative cause analysis, and the consequences were compared with the results of K-CARM(Ver.2.0) program which assesses the quantitative risk in an usual method. As a result, we found that the consequences of the KS-RBI program were similar to those of the K-CARM program. Therefore, the KS-RBI program could be applied to the quantitative risk assessment. In addition, it can be safely said that through applying the damage ranges of accidents by weighted average, industrial sites can come up with the effective plans of mitigation and emergency.

**Key words :** Quantitative risk assessment, Risk based-inspection (RBI), Safety, API-581, KS-RBI, K-CARM

### I. 서 론

압력설비들은 설치 후 시간이 지남에 따라 점차 낡아지기 때문에 이를 보수하거나 대체 또는 폐기하고 있다. 그러나 경제적 요인 등으로 보수 또는 대체가 쉽지 않기 때문에 이로 인한 사고의 발생 가능성은 항상 존재하고 있다[1,2]. 따라서 낡은 설비들은 유지·보존 상태와 경제성 및 안전성에 따라 가장 효과적이고 적절한 시기에 검사하거나 보수해야 될 필요성이 있으며[3,4], 이를 해결하기 위해 최근에 도입된 방법이 위

험기반검사(risk based-inspection, RBI)[5-7]이다. 위험기반검사는 위험도에 근거하여 설비 검사를 수행할 수 있도록 검사방법, 검사시기 등을 제시하는 기법으로, 이때 위험도는 고장발생의 가능성과 사고결과의 크기 곱에 의해 결정되며, 사고결과의 크기는 API-581 절차에 따라 사용하는 유체와 공정조건에 따라 피해면적을 산출한다. 그러나 위험기반검사에서 사고피해 크기는 단순히 위험도 등급을 산출하기 위한 조건으로만 사용되고 있으므로, 향후 사고 피해면적을 활용하여 비상조치계획 수립에 적극적으로 활용할 필요성이 있다[8]. 또한 위험기반검사의 절차 중의 하나인 API-581에 의한 누출 시나리오를 사용하여 현실적인 정량적 위험성

\*주저자:kimto@mju.ac.kr

평가를 수행할 수 있다[9,10].

본 연구에서는 사업장에서 위험기반검사 방법에 의한 정량적인 위험성 평가를 실시하고, 그 결과를 비상 조치계획 수립에 적극 활용할 수 있도록 하고자 하였다. 이를 위해 정량적 위험성 평가 등의 원인분석이 가능하도록 API-581 절차에 따라 개발된 위험기반검사(KS-RBI Ver.3.0) 프로그램을 사용하여 산출한 사고피해 크기와 일반적인 사고결과 분석방법에 의해 산출된 사고피해 크기를 비교·해석하였다.

## II. 이 론

위험기반검사에서 누출 시나리오(s)별 위험도(risk)는 사고발생 가능성과 사고피해 크기의 곱으로 식 (1)과 같이 나타낸다[7].

$$(Risk)_s = (\text{Likelihood of Failure})_s \times (\text{Consequence of Failure})_s \quad (1)$$

여기서 사고발생 가능성은 설비의 파손확률이나 파손 횟수를 나타내고, 사고결과 크기는 피해면적 또는 피해 손실액으로 나타낸다.

사고피해 크기를 분석하는 일반적인 절차는 Fig. 1과 같이 누출유형 및 누출상태에 따라 누출속도 또는 누출량을 산출하고, 화재 및 폭발에 의한 피해범위와 독성영향을 산출한다[7].

### 2.1. 누출원모델

배관에서 기체가 누출공(release hole)을 통하여 연속으로 누출되는 경우 누출기체의 유속이 음속인 경우에는 식 (2)에 초기누출속도를 산출할 수 있다[7,11].

$$Q = A Ma P_s \sqrt{\frac{\gamma g_c M_w}{RT_s}} \quad (2)$$

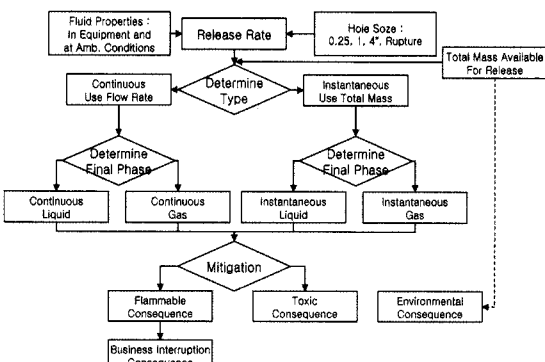


Fig. 1. Procedure for consequence analysis.

여기서  $Q$ 는 연속 누출량(kg/s),  $A$ 는 누출공의 단면적 ( $m^2$ ),  $Ma$ 는 Mach 수(-),  $\gamma$ 는 열용량비( $C_p/C_v$ ),  $R$ 은 기체상수(kJ/kmol · K),  $g_c$ 는 전환인자( $kg \cdot m/N \cdot s^2$ , -),  $M_w$ 는 분자량(-), 그리고  $P_s$ 와  $T_s$ 는 각각 공정 압력(Pa)과 온도(K)이다.

그리고  $(P_a/P_s)_c$ 가  $(P_a/P_s)_c$ 보다 큰 경우에는 유출가스의 흐름은 아음속으로 판정하며, 식 (3)로부터 아음속 가스의 누출속도를 산출한다[11].

$$Q = \sqrt{\left(\frac{2g_c M_w}{R}\right)\left(\frac{\gamma}{\gamma-1}\right)\left(\frac{T-T_s}{\left(\frac{T_s}{P_s}\right)^2 - \left(\frac{T}{P_a}\right)^2}\right)} \quad (3)$$

또한 용기누출에서 초기누출속도는 음속누출인 경우에는 식 (4)를, 그리고 아음속누출인 경우에는 식 (5)를 사용한다[12].

$$Q = C_D A P_s \sqrt{\frac{\gamma g_c M_w}{RT_s} \left(\frac{2}{\gamma+1}\right)^{\frac{(\gamma+1)}{(\gamma-1)}}} \quad (4)$$

$$Q = C_D A P_s \sqrt{\frac{2g_c M_w}{RT_s} \frac{\gamma}{\gamma-1} \left(\left(\frac{P_a}{P_s}\right)^{\frac{2}{\gamma}} - \left(\frac{P_a}{P_s}\right)^{\frac{(\gamma+1)}{\gamma}}\right)} \quad (5)$$

여기서  $C_D$ 는 누출계수(-)로, 난류흐름의  $C_D$  값은 Green과 Perry[13]에 의해 제시되었다.

### 2.2. 사고 영향모델

가연성 가스가 누출되는 경우에는 점화원에 의해 증기운 폭발과 같은 사고가 발생하는데, 증기운 폭발에 의한 사고피해를 예측하기 위해 일반적으로 사용되는 모델인 TNT 당량모델은 상대 연소열에 근거한 TNT의 상당량을 산출하여 사고피해를 산출하는 방법으로[11], TNT 상당량,  $W(kg)$ 을 산출하는 식은 식 (6)과 같다.

$$W = \frac{\eta M Hc}{Hc_{TNT}} \quad (6)$$

여기서  $M$ 은 누출된 가연성 물질의 질량(kg),  $Hc$ 는 가연성 물질의 연소열(kJ/kg)이고,  $\eta$ 는 폭발계수(-)로, 석유화학물질의 경우 약 0.01~0.2이다. 그리고 TNT의 연소열,  $Hc_{TNT}$ 는 4680 kJ/kg(2000 Btu/lb<sub>m</sub>)이다[14].

따라서 식 (6)에 의해 산출한 TNT 상당량을 사용하여 환산거리,  $Z(m)$ 을 산출하고, 환산거리와 TNT 상당량으로부터 관심거리,  $X$ 에서 과압(kPa)을 산출할 수 있으며[1,12], 이로부터 인명이나 구조물에 대한 사고피해 영향을 추정할 수 있다.

## 위험기반검사 프로그램에 의한 화학설비의 정량적 위험성 평가

$$X = Z \times W^{1/3} \quad (7)$$

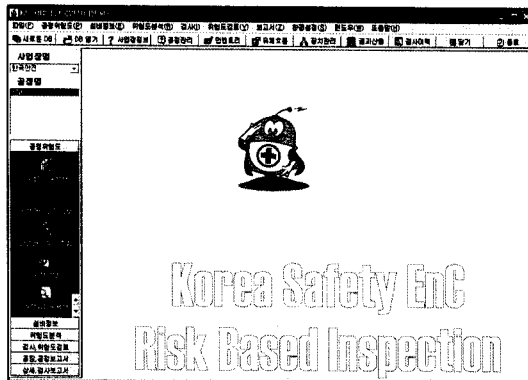
또한 가연성 압축 또는 액화된 가스가 저장탱크나 배관에서 누출되는 경우에는 방출된 물질이 주위의 공기와 혼합되어 점화원과 만나면 상당한 길이의 제트화재(jet fire)가 발생된다. 제트화재의 경우 API RP-521에서 수직적인 방향의 제트화재에 의한 복사열은 Brzustowski와 Sommers[1]에 의해 제시된 식 (8)에 의해 산출할 수 있다.

$$I_{th} = \frac{\tau \beta Q_{th}}{4\pi D^2} \quad (8)$$

여기서  $I_{th}$ 는 복사열 [ $\text{kW/m}^2$ ],  $\tau$ 는 투과율 [-],  $Q_{th}$ 는 전체 방출열 [ $\text{kW}$ ],  $\beta$ 는 복사된 열의 분율 [-], 그리고  $D$ 는 화염중심에서부터 대상물까지의 거리 [ $\text{m}$ ]이다.

### III. 결과 및 고찰

정량적 원인분석이 가능하도록 API-581 절차에 따라 개발한 Fig. 2와 같은 위험기반검사 프로그램(KS-RBI Ver.3.0)을 사용하여 D 사의 H plant에 대해 위험기반 검사를 수행하고, 대상설비의 정량적 위험성 평가를 실시하였다. 그리고 그 결과를 비교·분석하기 위하여 한국산업안전공단(KOSHA)에서 개발한 K-CARM Ver.2.0 프로그램을 사용하여 수행하였다. 이때, 누출공 크기, 누출시간 등과 같은 누출 시나리오는 KS-RBI에서 사용된 방법인 API-581 절차를 사용하였다. 즉, 누출공은 1/4, 1, 4, 16 inch 직경을 사용하였고, 누출시간은 검출 시스템과 차단시스템에 의해 산출된 누출 지속시간과 저장량을 누출속도로 나눈 시간을 비교하여 적은 시간으로 하였다.



**Fig. 2.** KS-RBI Ver.3.0 program developed by Korea Safety EnC

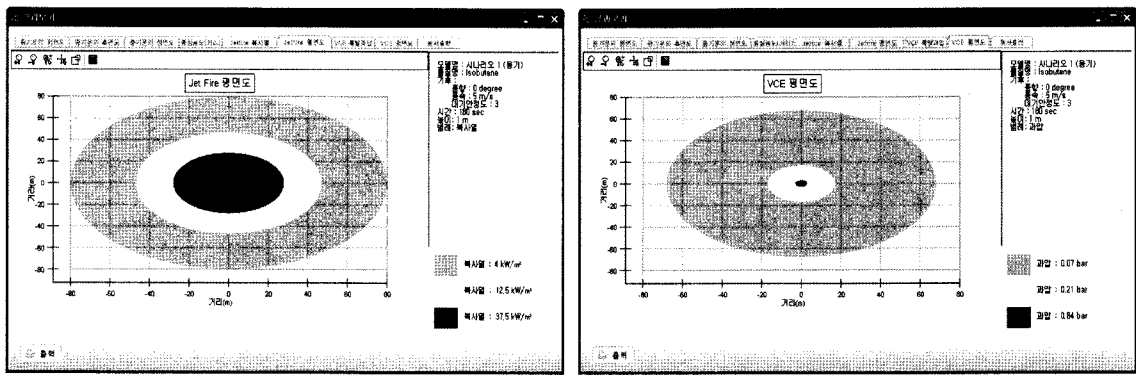
**Table 1.** Conditions of process and release for quantitative risk assessment.

Equipment	V-156 Tank			
Storage material	Iso-butane			
Storage temperature (°C)	46			
Storage pressure (kg/cm <sup>2</sup> )	5.4			
Tank diameter (cm)	340			
Tank height (cm)	1360			
System	Detection	Isolation	Mitigation	
	Automatic	Manual	Fire water/ Foam spray	
Release diamete (inch)	1/4	1	4	16
Release time (sec)	3,600	2,400	180	180
Storage quantity (kg)	about 100			
Wind velocity (m/s)	5			
Atmospheric stability	Class D			

대상설비는 석유화학공장의 H 공정에서 피해범위가 큰 설비 중의 하나인 'V-156' tank를 선택하였으며, 누출 시나리오 및 공정조건에 대한 정보는 Table 1과 같다. 이때, 이소부탄(iso-butane)은 기-액상태(액상 30%)로 저장되어 있으며, 누출 후에는 기상으로 변하고, 누출과정에서 점화가 발생하면 제트화제와 같은 사고가 발생한다. 또한 대기 중에서 공기보다 무겁기 때문에 누출이 발생되면 분산되어 지면에 체류할 가능성이 높으며, 체류한 가스는 점화원에 의해 증기운 폭발(vapor cloud explosion, VCE)이 발생할 수 있다. 따라서 이와 같은 두 가지의 사고유형에 대해 KS-RBI 프로그램과 K-CARM 프로그램을 이용하여 사고결과

설비번호		설비명		설명	
선택	설비번호	설비명	설명	제작	제작일
E-136	Jube	Exchang			
E-137	channel	Exchang			
E-137	shuttle	Exchang			
E-137	Jube	Exchang			
E-136	channel	Exchang			
E-136	shuttle	Exchang			
E-136	Jube	Exchang			
E-139	shuttle	Exchang			
E-139	Jube	Exchang			
E-141	shuttle	Exchang			
F-022A/B/C	Drum				
F-107A/B	Filter				
V-017	Tank				
V-051/B/C	Drum				
V-052A/B/C	Drum				
V-081	Drum				
V-116/B	Drum				
V-153	Column				
V-154	Column				
V-157	Drum				
V-158	Drum				
V-159	Drum				
V-160	Drum				
V-161	Drum				
V-162	Drum				
V-163	Drum				
V-164	Drum				
V-165	Drum				
V-166	Drum				
V-167	Drum				
V-168	Drum				
V-169	Drum				
V-170	Drum				
V-171	Drum				
V-172	Drum				
V-173	Drum				
V-174	Drum				
V-175	Drum				
V-176	Drum				
V-177	Drum				
V-178	Drum				
V-179	Drum				
V-180	Drum				
V-181	Drum				
V-182	Drum				
V-183	Drum				
V-184	Drum				
V-185	Drum				
V-186	Drum				
V-187	Drum				
V-188	Drum				
V-189	Drum				
V-190	Drum				
V-191	Drum				
V-192	Drum				
V-193	Drum				
V-194	Drum				
V-195	Drum				
V-196	Drum				
V-197	Drum				
V-198	Drum				
V-199	Drum				
V-200	Drum				
V-201	Drum				
V-202	Drum				
V-203	Drum				
V-204	Drum				
V-205	Drum				
V-206	Drum				
V-207	Drum				
V-208	Drum				
V-209	Drum				
V-210	Drum				
V-211	Drum				
V-212	Drum				
V-213	Drum				
V-214	Drum				
V-215	Drum				
V-216	Drum				
V-217	Drum				
V-218	Drum				
V-219	Drum				
V-220	Drum				
V-221	Drum				
V-222	Drum				
V-223	Drum				
V-224	Drum				
V-225	Drum				
V-226	Drum				
V-227	Drum				
V-228	Drum				
V-229	Drum				
V-230	Drum				
V-231	Drum				
V-232	Drum				
V-233	Drum				
V-234	Drum				
V-235	Drum				
V-236	Drum				
V-237	Drum				
V-238	Drum				
V-239	Drum				
V-240	Drum				
V-241	Drum				
V-242	Drum				
V-243	Drum				
V-244	Drum				
V-245	Drum				
V-246	Drum				
V-247	Drum				
V-248	Drum				
V-249	Drum				
V-250	Drum				
V-251	Drum				
V-252	Drum				
V-253	Drum				
V-254	Drum				
V-255	Drum				
V-256	Drum				
V-257	Drum				
V-258	Drum				
V-259	Drum				
V-260	Drum				
V-261	Drum				
V-262	Drum				
V-263	Drum				
V-264	Drum				
V-265	Drum				
V-266	Drum				
V-267	Drum				
V-268	Drum				
V-269	Drum				
V-270	Drum				
V-271	Drum				
V-272	Drum				
V-273	Drum				
V-274	Drum				
V-275	Drum				
V-276	Drum				
V-277	Drum				
V-278	Drum				
V-279	Drum				
V-280	Drum				
V-281	Drum				
V-282	Drum				
V-283	Drum				
V-284	Drum				
V-285	Drum				
V-286	Drum				
V-287	Drum				
V-288	Drum				
V-289	Drum				
V-290	Drum				
V-291	Drum				
V-292	Drum				
V-293	Drum				
V-294	Drum				
V-295	Drum				
V-296	Drum				
V-297	Drum				
V-298	Drum				
V-299	Drum				
V-300	Drum				
V-301	Drum				
V-302	Drum				
V-303	Drum				
V-304	Drum				
V-305	Drum				
V-306	Drum				
V-307	Drum				
V-308	Drum				
V-309	Drum				
V-310	Drum				
V-311	Drum				
V-312	Drum				
V-313	Drum				
V-314	Drum				
V-315	Drum				
V-316	Drum				
V-317	Drum				
V-318	Drum				
V-319	Drum				
V-320	Drum				
V-321	Drum				
V-322	Drum				
V-323	Drum				
V-324	Drum				
V-325	Drum				
V-326	Drum				
V-327	Drum				
V-328	Drum				
V-329	Drum				
V-330	Drum				
V-331	Drum				
V-332	Drum				
V-333	Drum				
V-334	Drum				
V-335	Drum				
V-336	Drum				
V-337	Drum				
V-338	Drum				
V-339	Drum				
V-340	Drum				
V-341	Drum				
V-342	Drum				
V-343	Drum				
V-344	Drum				
V-345	Drum				
V-346	Drum				
V-347	Drum				
V-348	Drum				
V-349	Drum				
V-350	Drum				
V-351	Drum				
V-352	Drum				
V-353	Drum				
V-354	Drum				
V-355	Drum				
V-356	Drum				
V-357	Drum				
V-358	Drum				
V-359	Drum				
V-360	Drum				
V-361	Drum				
V-362	Drum				
V-363	Drum				
V-364	Drum				
V-365	Drum				
V-366	Drum				
V-367	Drum				
V-368	Drum				
V-369	Drum				
V-370	Drum				
V-371	Drum				
V-372	Drum				
V-373	Drum				
V-374	Drum				
V-375	Drum				
V-376	Drum				
V-377	Drum				
V-378	Drum				
V-379	Drum				
V-380	Drum				
V-381	Drum				
V-382	Drum				
V-383	Drum				
V-384	Drum				
V-385	Drum				
V-386	Drum				
V-387	Drum				
V-388	Drum				
V-389	Drum				
V-390	Drum				
V-391	Drum				
V-392	Drum				
V-393	Drum				
V-394	Drum				
V-395	Drum				
V-396	Drum				
V-397	Drum				
V-398	Drum				
V-399	Drum				
V-400	Drum				
V-401	Drum				
V-402	Drum				
V-403	Drum				
V-404	Drum				
V-405	Drum				
V-406	Drum				
V-407	Drum				
V-408	Drum				
V-409	Drum				
V-410	Drum				
V-411	Drum				
V-412	Drum				
V-413	Drum				
V-414	Drum				
V-415	Drum				
V-416	Drum				
V-417	Drum				
V-418	Drum				
V-419	Drum				
V-420	Drum				
V-421	Drum				
V-422	Drum				
V-423	Drum				
V-424	Drum				
V-425	Drum				
V-426	Drum				
V-427	Drum				
V-428	Drum				
V-429	Drum				
V-430	Drum				
V-431	Drum				
V-432	Drum				
V-433	Drum				
V-434	Drum				
V-435	Drum				
V-436	Drum				
V-437	Drum				
V-438	Drum				
V-439	Drum				
V-440	Drum				
V-441	Drum				
V-442	Drum				
V-443	Drum				
V-444	Drum				
V-445	Drum				
V-446	Drum				
V-447	Drum				
V-448	Drum				
V-449	Drum				
V-450	Drum				
V-451	Drum				
V-452	Drum				
V-453	Drum				
V-454	Drum				
V-455	Drum				
V-456	Drum				
V-457	Drum				
V-458	Drum				
V-459	Drum				
V-460	Drum				
V-461	Drum				
V-462	Drum				
V-463	Drum				
V-464	Drum				
V-465	Drum				
V-466	Drum				
V-467	Drum				
V-468	Drum				

**Fig. 3.** Simulation results for release scenario of V-156 tank estimated by KS-RBI



(a) Jet fire

(b) Vapor cloud explosion

Fig. 4. Consequences for 16 inch release hole diameter estimated by K-CARM.

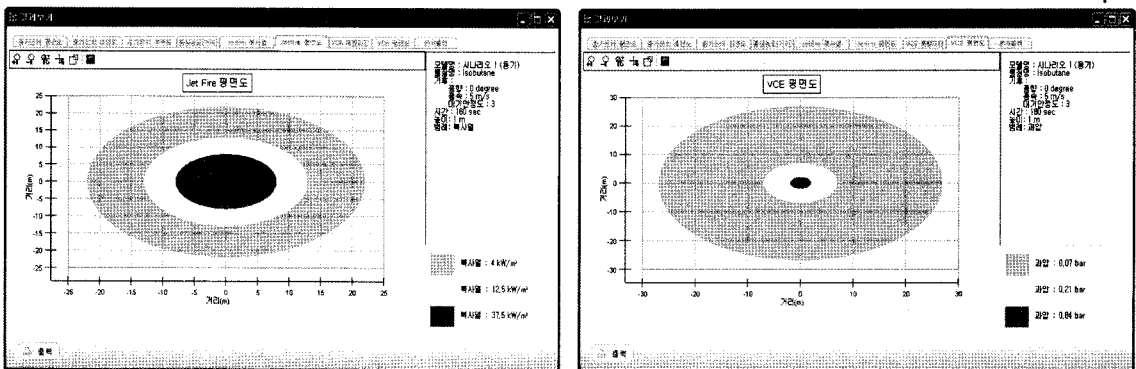
를 분석하였다.

Fig. 3은 KS-RBI 프로그램을 사용하여 얻은 결과를 나타낸 것으로, 장치손상지역은 소(1/4 inch), 중(1 inch), 대(4 inch), 평행(16 inch)에 대해 각각 17, 253, 28926, 212941 ft<sup>2</sup>이었다. 즉, 피해반경이 약 1, 3, 30, 80 m이었다. 이때, 1/4 inch 누출의 경우는 누출된 량이 적어서 피해범위가 크지 않았으나, 누출공의 크기가 클수록 누출량이 많아져서 제트화재와 증기운 폭발로 인한 피해범위가 급격히 증가하였다.

Fig. 4는 16 inch 직경의 누출공에서 누출이 발생할 경우 K-CARM에 의해 산출한 제트화재에 의한 복사열과 VCE에 의한 과압의 영향을 나타낸 것이다. 제트화재의 경우는 약 80 m(반경) 이내에서 복사열의 영향을 받는 것으로 나타났으며, VCE의 경우는 68 m(반경) 범위 내에서 과압의 영향을 받는 것으로 나타났다. 이 결과를 KS-RBI 프로그램의 결과와 비교하면 16 inch 누출공에서 제트화재에 의한 영향의 결과는 잘 일치하는 것으로 나타났다.

Fig. 5는 4 inch 직경의 누출공에서 누출이 발생할 경우 K-CARM에 의해 산출한 제트화재에 의한 복사열과 VCE에 의한 과압의 영향을 나타낸 것이다. 제트화재의 경우는 약 6 m(반경) 이내에서 복사열의 영향을 받는 것으로 나타났으며, VCE의 경우는 27 m(반경)이내에서 과압의 영향을 받는 것으로 나타났다. 이 결과는 VCE의 경우 KS-RBI 프로그램의 결과인 약 40 m(반경)과 잘 일치함을 알 수 있다.

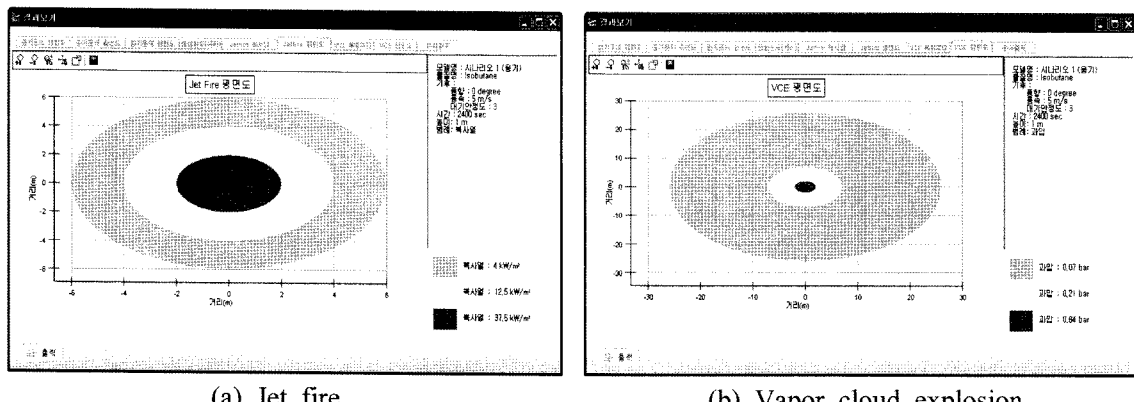
1 inch 직경의 누출공에서 누출이 발생할 경우 K-CARM에 의해 산출한 제트화재에 의한 복사열과 VCE에 의한 과압의 영향은 Fig. 6과 같다. 제트화재의 경우는 약 6 m(반경) 이내에서 복사열의 영향을 받는 것으로 나타났으며, VCE의 경우는 26 m(반경)이내에서 과압의 영향을 받는 것으로 나타났다. 이와 같은 결과는 KS-RBI 프로그램에 의해 산출한 제트화재의 피해범위(반경)인 약 3 m와 매우 비슷하였으나, VCE의 피해범위는 상당한 차이가 있다. 이것은 K-CARM의 경우 2400초 동안 누출된 이소부탄이 회석되지 않고,



(a) Jet fire

(b) Vapor cloud explosion

Fig. 5. Consequences for 4 inch release hole diameter estimated by K-CARM.



(a) Jet fire

(b) Vapor cloud explosion

**Fig. 6.** Consequences for 1 inch release hole diameter estimated by K-CARM.

모두 폭발한 것으로 가정하였기 때문에 피해범위가 큰 것으로 판단된다.

또한 1/4 inch 직경의 누출공에 대한 모사결과는 1 inch 직경의 결과와 매우 비슷한 경향을 나타내었으며, 누출공의 크기가 작은 경우는 연속누출이 이루어져서 제트화재는 다소 피해범위가 크게 나타날 수 있으나, VCE의 경우는 누출속도가 작고, 공기 중에서 회석되기 때문에 피해범위는 상당히 줄어들 것으로 판단된다.

이상의 결과로부터 가중피해영역을 산출하였다. 즉, API-581 절차[7]에서는 식 (9)와 같이 피해범위를 가중피해영역 즉, 4가지의 누출 시나리오에 대한 고장률과 피해범위를 사용하여 가중평균(weighted average)한 피해영역으로 나타낸다. 이때, 피해범위를 원으로 가정하고, 각 누출 시나리오에 대한 고장률(회/년) $(7.4 \times 10^{-6}, 1.9 \times 10^{-5}, 1.9 \times 10^{-6}, 3.7 \times 10^{-6})$ 과 피해범위(반경) $(1, 3, 30, 80 \text{ m})$ 를 사용하여 식 (9)에 의해 산출한 가중피해영역은  $28.3 \text{ m}$ (반경)이었다.

Weighted average area=

$$\frac{\sum_{n=1}^{n=4} (Area)_n \times (Frequency)_n}{\sum_{n=1}^{n=4} (Frequency)_n} \quad (9)$$

따라서 이와 같이 가중피해범위를 산출하여 방호벽 설치와 같은 피해 완화조치를 통한 피해범위 최소화 방안과 비상조치계획의 수립 등에 반영할 수 있다. 즉, 사업장에서는 가중피해범위와 최악의 누출 시나리오(파열인 경우)를 동시에 고려할 필요가 있으나, 최악의 누출 시나리오를 중심으로 사고를 예방할 경우에는 사업

장에서 막대한 비용을 들여야 하기 때문에 다소 비현실적일 수 있다.

이상의 결과와 같이 위험기반검사 프로그램에 의해 산출된 피해범위는 일반적인 정량적 위험성 평가방법에 의해 산출한 피해범위와 비슷하게 나타났다. 따라서 사업장에서는 검사방법을 제시하기 위해 개발된 RBI 기법을 사용하여 정량적 위험성 평가에 적극 활용할 수 있을 뿐만 아니라 가중피해영역에 의해 최적의 비용으로 비상조치계획을 수립할 수 있을 것으로 생각된다.

## IV. 결 론

정량적 원인분석이 가능하도록 API-581 절차에 따라 개발한 위험기반검사 프로그램(KS-RBI Ver.3.0)을 이용하여 화학설비의 사고 피해범위를 산출하고, 일반적인 정량적 위험성 평가 프로그램인 K-CARM에서 얻은 결과와 비교하였다. 그 결과, KS-RBI 프로그램에 의해 산출한 사고피해 크기는 K-CARM의 결과와 비교적 잘 일치하여 사업장에서는 검사방법을 제시하기 위해 개발된 위험기반검사 프로그램인 KS-RBI 프로그램을 정량적 위험성 평가에 적극 활용할 수 있을 것으로 기대된다. 또한 각 누출 시나리오에 대한 고장률과 사고 피해범위를 사용하여 산출한 가중피해영역에 의해 효과적으로 피해완화조치와 비상조치계획을 수립할 수 있을 것으로 생각된다.

## 참고문헌

- [1] Lees, F. P., *Loss Prevention in the Process Industries*, Butter-worths, London, (1980)
- [2] Kletz, T. A., *What Went Wrong?*, Gulf Publishing Co.,

- Houston, TX, (1986)
- [3] API, Fitness for Service : API-579, American Petroleum Institute, New York, (1999)
- [4] KAERI, "The 7th Korea-Japan PSA Workshop", Korea Atomic Energy Research Institute, May, (2002)
- [5] API, Based Resource Document of Risk Based Inspection : API-580, American Petroleum Institute, New York, (2001)
- [6] CRTD/ASME, Risk-Based Inspection - Development of Guidelines, American Society of Mechanical Engineers, CRTD-20-1, New York, (1991)
- [7] API, Risk-Based Inspection - Basic Resource Document : API-581, American Petroleum Institute, New York, (2000)
- [8] KOSHA, Development of K-RBI Program II, Korea Occupational Safety & Health Agency, Technical Manual, (2005)
- [9] 이현창, 유준, 김태옥, "배관누출에 의한 가스 폭발사고에서 누출 시나리오 선정 및 사고결과 분석", *한국가스학회지*, 10(4), 52-62, (2006)
- [10] 이현창, 조지훈, 김태옥, "용기누출로 인한 가스 폭발 사고에서 API-581 절차의 누출 시나리오에 의한 사고결과 분석", *한국가스학회지*, 11(2), 15-24, (2007)
- [11] KOSHA, Consequence Analysis(CA), Korea Occupational Safety & Health Agency, ISTI-2001-29-86l, (2001)
- [12] Crowl, D.A. and J.F. Louvar, Chemical Process Safety Fundamentals with Applications, Prentice Hall, New York, (1990)
- [13] Perry, R.H. and D. Green, Perry's Chemical Engineering Handbook, 7th ed., McGraw-Hill, New York, (1997)
- [14] Industrial Risk Insurance(IRI), Oil and Chemical Properties Loss Potential Estimation Guide, IR Information, IM 8011, (1992)